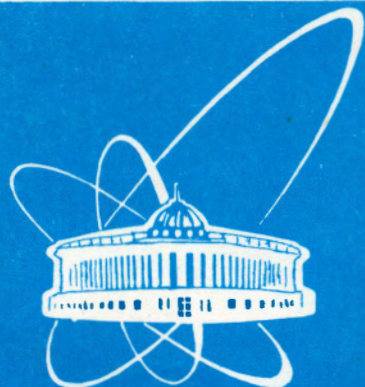


94-213



ОБЪЕДИНЕННЫЙ
ИНСТИТУТ
ЯДЕРНЫХ
ИССЛЕДОВАНИЙ
ДУБНА

P13-94-213

Ю.В.Юшкевич, К.Циммер¹, Г.Байер²,
В.А.Быстров, Х.-Ю.Клуге¹, А.Ф.Новгородов,
Е.В.Оттен¹, Н.Траутманн³, К.Вендт¹

ВЫСОКОЭФФЕКТИВНЫЙ ИОННЫЙ ИСТОЧНИК
С ПОВЕРХНОСТНОЙ ИОНИЗАЦИЕЙ
ДЛЯ ОПРЕДЕЛЕНИЯ УЛЬТРАСЛЕДОВЫХ
КОЛИЧЕСТВ РАДИОТОКСИЧНЫХ
ИЗОТОПОВ СТРОНЦИЯ

Направлено в журнал «Nuclear Instruments and Methods»

¹Институт физики Гутенбергского университета, Майнц, Германия

²ЦЕРН, CH-1211, Женева 23

³Институт ядерной химии Гутенбергского университета, Майнц,
Германия

1994

Введение

Ионные источники поверхности-ионизационного типа нашли широкое применение в различных областях физики. Можно выделить три основных направления их использования:

- получение короткоживущих радиоизотопов редкоземельных элементов и актиноидов в "on-line" и "off-line" системах;
- получение ионов различных элементов при масс-спектрометрии;
- ядерная спектроскопия с использованием лазерной техники в сочетании с обычной масс-сепарацией.

В данной работе описан ионный источник, использованный для третьей цели.

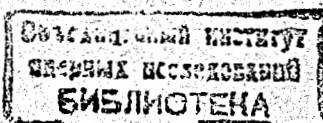
Основные требования к источнику:

- a). работа с макроколичествами (до 100 мкг) рабочего вещества;
- b) стабильная во времени эффективность ионизации;
- v) относительно короткое время (\approx 2 часа) масс-сепарации.

В данной работе использовался разработанный нами ранее ионный источник с отдельной регулировкой температур ионизатора и испарителя. Конструкция источника и наличие вакуумного шлюза позволяют быстро (\approx 0,5 часа) заменять образцы с высокой воспроизводимостью геометрии.

1. Определение ультраследовых количеств радиотоксичных изотопов Sr

В Институте физики Гутенбергского университета была разработана новая, быстрая методика следового анализа радиоактивных изотопов ^{89}Sr , ^{90}Sr в образцах окружающей среды ¹¹. Обычную масс-сепарацию объединяют с резонансно-ионизационной спектроскопией в коллинеарной геометрии, что обеспечивает высокую селективность и чувствительность. Природные образцы, используемые для этой методики - это небольшая часть воздушного фильтра (для сбора воздуха на севере Мюнхена), эксплуатировавшегося в конце апреля 1986 г., после



катастрофы реактора в Чернобыле. Для измерений была взята 1/32 часть этого фильтра. После сжигания и растворения образец был поделен на 5 частей, каждая из которых соответствовала отбору проб воздуха $\approx 830 \text{ м}^3$. После химического разделения каждый образец помещался в ионный источник, и ионный пучок Sr извлекался в течение 2 часов. Использовался источник с поверхностью ионизации, нагреваемый током прямого накала. При максимальной температуре 2200°C эффективность ионизации Sr составляла $\approx 5\%$. Используя метод резонансно-ионизационной спектроскопии, было измерено содержание ^{90}Sr $1,5 \text{ мБк}/\text{м}^3$, что соответствует $1,7 \cdot 10^9$ атомов ^{90}Sr на образец. Эта величина хорошо согласуется с результатами радиохимических измерений. На рис. 1 показано распределение относительного допплеровского сдвига для ^{90}Sr и ^{88}Sr .

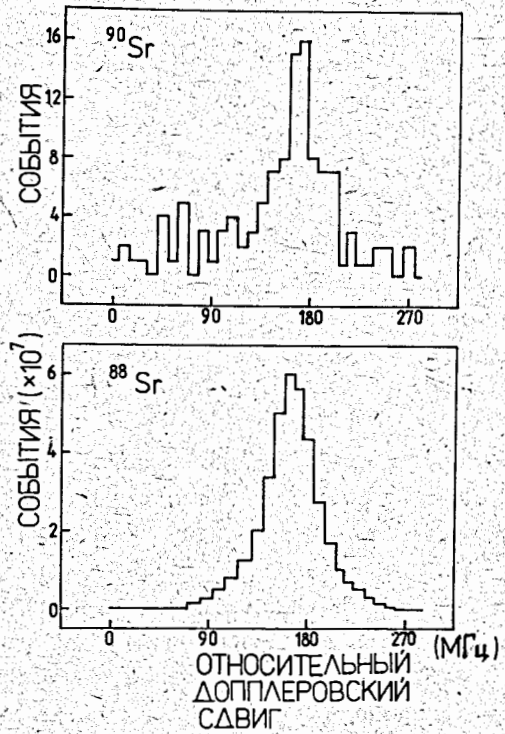


Рис. 1. Распределение относительного допплеровского сдвига для ^{90}Sr и ^{88}Sr

2. Конструкция и принцип действия

Основой конструкции созданного источника послужил используемый ранее в ляп овия ионный источник с поверхностью ионизации¹². На рис. 2 приведена схема предложенного нами ионного источника.

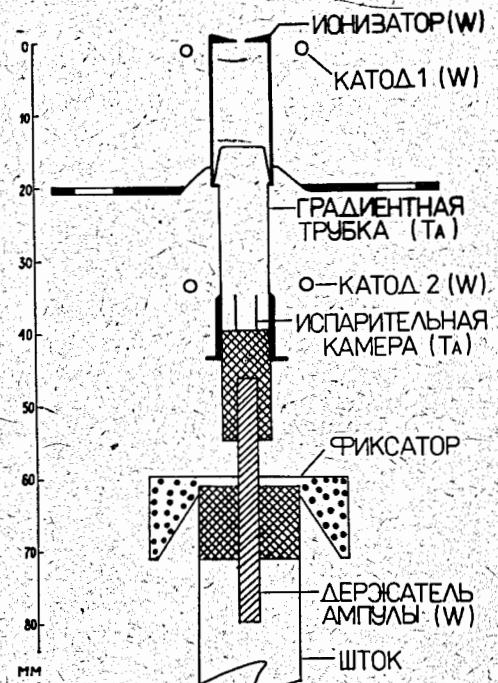


Рис. 2. Схема ионного источника

Непосредственно источник (разборная ампула) крепится на штоке, что позволяет быстро вводить и выводить его через вакуумный шлюз в объем масс-сепаратора. Исследуемый образец помещается в испарительную камеру, выполненную из тантала, обогрев которой осуществляется лучистой энергией катода 2. Атомы испаряются и попадают в вольфрамовый ионизатор, представляющий собой полую ампулу (наружный диаметр 5 мм, стенки толщиной ≈ 1 мм, масса ≈ 5 г), где ионизуются и через отверстие ($\varnothing 0,1 \pm 0,4$ мм) вытягиваются электрическим полем.

Нагрев ионизатора происходит в результате электронной бомбардировки его поверхности. Благодаря малым размерам ампулы, температура ее может достигать более 3000°C . В тонкостенной tantalовой трубке создается нужный для стронция большой перепад температуры от 2700°C на ионизаторе до 1900°C на испарителе. Нагрев катодов осуществляется двумя регулируемыми источниками постоянного тока (65 А, 10 В). Для электронной бомбардировки используется источник постоянного напряжения (1000 В, 1 А), также регулируемый.

Эффективность ионизации источника такого типа исследовалась в работе ^{13/}, где было показано, что при выполнении определенных условий по температуре источника и плотности извлекаемого ионного тока, коэффициент ионизации β^* в источнике может быть существенно выше вычисленного по уравнению Саха-Лэнгмюра. При этом величина β^* определялась из следующих соотношений:

$$\beta^* = \frac{a^*}{1 + a^*}$$

$$a^* = a_{S-L} \cdot \exp\left(\frac{e\Delta U}{kT}\right) = a_{S-L} \cdot N$$

$$\Delta U = \left(\frac{kT}{2e}\right) \ln\left[\left(A_0 T^2\right)/e\nu_0 \beta_{S-L} (M/m)^{1/2}\right] - \frac{\phi}{2},$$

где α^* и α_{S-L} - степень ионизации в источнике и рассчитанная по формуле Саха-Лэнгмюра соответственно; Т - температура источника, К; ϕ - работа выхода, эВ; k - постоянная Больцмана; $A_0 = 120 \text{ а.см}^{-2}$ - постоянная Ричардсона-Дэшмана; $\nu_0 = \nu_a + \nu_i$ - удельный поток частиц с внутренней поверхности в объем источника; e, m - заряд и масса электрона; M - масса иона.

На рис. 3 приводятся вычисленные значения N в зависимости от температуры вольфрамового ионного источника и величины извлекаемой плотности ионного тока j^+ : $(e\nu_0 \beta_{S-L} = e\nu_i = j^+ / 1,47)$ ^{14/}.

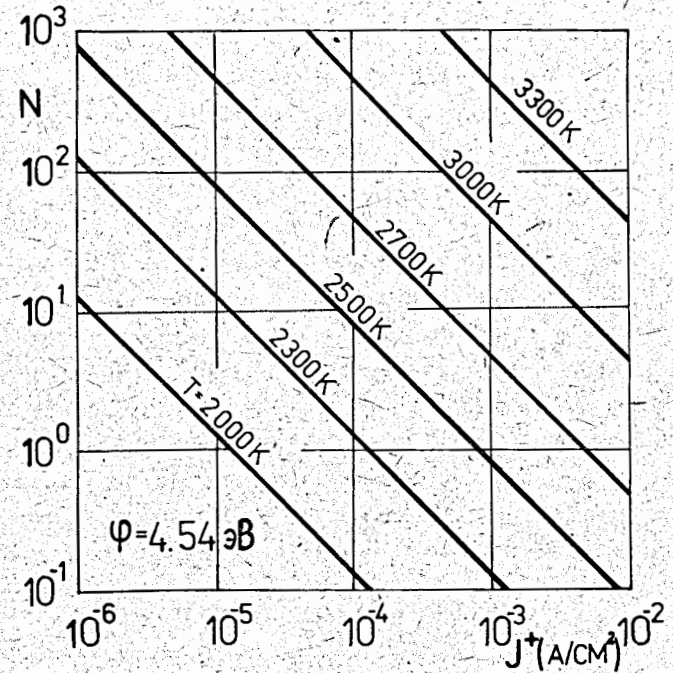


Рис. 3. Вычисленные значения N в зависимости от температуры вольфрамового ионного источника и величины извлекаемой плотности тока

Расчетные зависимости, полученные в приближении термодинамически равновесной плазмы, оказались в хорошем согласии с экспериментом. Как известно, условию термодинамически равновесной плазмы отвечает максвелловское распределение ионов и электронов и равенство их температур. В рассматриваемом ионном источнике при наличии пристеночного скачка потенциала ΔU , являющегося потенциальным барьером для электронов, последние имеют больцмановское распределение и находятся в состоянии термодинамического равновесия вблизи

любой эквипотенциальной поверхности (трубки) в полости источника. Равновесию электронов способствует также внешнее магнитное поле спирали нити накала.

3. Эксперименты и результаты

Первые эксперименты с ионным источником проводились на масс-сепараторе комплекса ЯСНАПП-2 ОИЯИ /5/. Радиоизотопы стронция радиохимически выделялись из облученных на пучке протонов 600 МэВ фазotronа ЛЯП фольг Nb и Mo. Фракция изотопов стронция масс-сепарировалась для получения чистого изотопа ^{82}Sr , который затем использовался как метка. Для изучения зависимости эффективности ионизации Sr от его количества использовались азотокислые растворы ^{82}Sr без носителя и суммы естественных изотопов Sr, из которых приготавливались образцы объемом 20–100 мкл, содержащие 10–50 кБк ^{82}Sr и 3–20 мкг естественной смеси стабильных изотопов Sr. Смеси упаривались на Та-фольгах 10×10 мм толщиной 15 мкм. После упаривания фольги сворачивались, измерялись на γ -спектрометре для точного определения количества ^{82}Sr и помещались в ионный источник масс-сепаратора. После окончания сепарации измерялась активность коллектора масс-сепаратора и определялась эффективность ионизации.

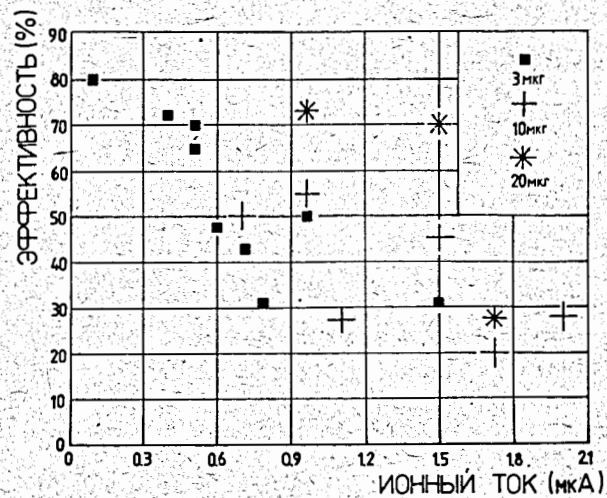


Рис. 4. Зависимость эффективности ^{82}Sr от ионного тока

На рис. 4 показана зависимость эффективности ионизации ^{82}Sr при наличии разных весовых количеств Sr. Показано, что при ионных токах от 1 до 1,5 мкА эффективность ионизации достигает 50% и выше. Затем исследования были продолжены в Институте физики Гутенбергского университета (г. Майнц, Германия), где предлагаемый ионный источник был установлен на стандартном фланце масс-сепаратора RISIKO*¹.

На рис. 5 показана схема масс-сепаратора RISIKO, разработка и конструирование которого были выполнены с учетом опыта работы on-line сепаратора ISOLDE-2 в ЦЕРН. Ионы, образовавшиеся в источнике, извлекаются вытягивающим электродом и ускоряются. Потенциал ускорения может меняться от 20 до 50 кВ. Две линзы, одна одиночная электростатическая, другая – электрический квадрупольный триплет, формируют размер ионного пучка перед входом в магнит масс-сепаратора. Магнит имеет двойную фокусировку (радиус 750 мм; угол отклонения 60°; напряженность поля 0,62 Тл). Система щелей в фокальной плоскости выбирает ионы требуемой массы. Форма и размер ионного пучка контролируются рядом сканеров пучка по X и Y на всем его пути, т.е. около 12 м.

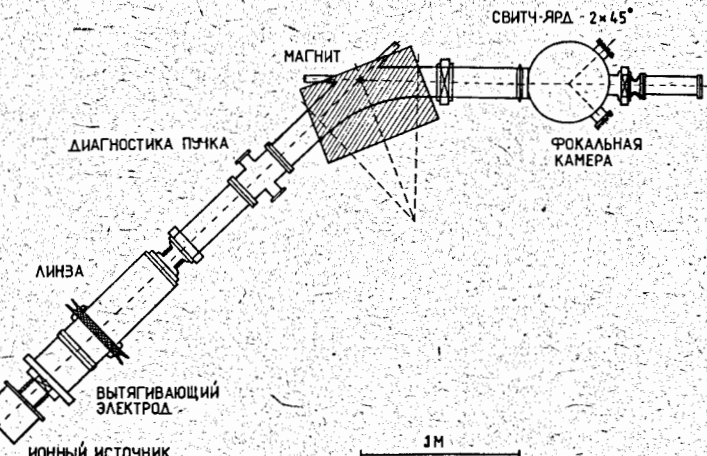


Рис. 5. Схема электромагнитного масс-сепаратора RISIKO

* RISIKO - Resonance Ionization Spectroscopy in Collinear Geometry.

Ряд цилиндров Фарадея позволяет измерять абсолютный ток пучка и трансмиссию по всей длине масс-сепаратора. В обычном режиме квадрупольно-триплетная линза не используется, одиночная электростатическая линза формирует ионный пучок диаметром около 10 мм, который входит в магнит. Разрешение масс в этом случае составляет $m/\Delta m=700$ в фокальной плоскости. В режиме высокого разрешения промежуточный фокус между электростатической и квадрупольной линзами увеличивает диаметр ионного пучка до 30 мм. В этом режиме достигается лучшее разрешение масс: $m/\Delta m>1200$. Суммарная трансмиссия не зависит от режимов работы линз и составляет >90%.

В исследованиях использовались образцы стабильного стронция в количестве 10^{17} и 10^{18} атомов. Трансмиссия и эффективность определялись по измерению ионных токов изотопов стронция. Каждый образец стронция, завернутый в тонкую tantalовую фольгу помещался в испарительную камеру ионного источника и затем проводилась масс-сепарация. Во время разделения температура ионизатора была постоянной ($\approx 2700^{\circ}\text{C}$), а температура испарителя регулировалась так, чтобы величина ионного тока была фиксированной.

На рис. 6 показана типичная зависимость стабилизированного ионного тока стронция от времени масс-сепарации.

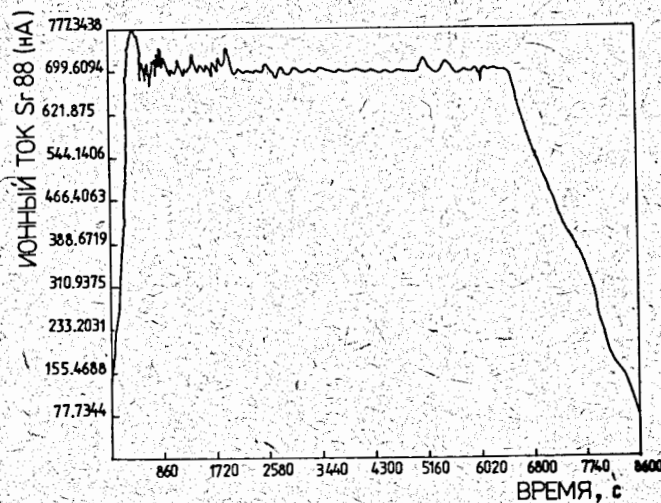


Рис. 6. Зависимость ионного тока ^{88}Sr от времени разделения

В таблице 1 приведены данные по разрешению и трансмиссии установки RISIKO для двух значений диаметров выходного отверстия ампулы при разных ионных токах.

таблица 1

Ионный ток	диаметр выходного отверстия						Массовое разрешение
	$\varnothing 0,4 \text{ мм}$			$\varnothing 0,1 \text{ мм}$			
	^{88}Sr	^{86}Sr	^{84}Sr	^{88}Sr	^{86}Sr	^{84}Sr	разрешение
100 нА	74%	75%	76%	87%	-	-	1420
300 нА	62%	75%	72%	69%	-	86%	1420
600 нА	29%	54%	60%	33%	56%	86%	1030
1 мкА	13%	36%	50%	18%	35%	69%	560
2 мкА	11%	13%	17%	14%	-	66%	880

В табл. 2 приведена эффективность ионизации ^{88}Sr при разных температурах и ионных токах. Показано, что высокая эффективность может быть достигнута за достаточно разумное время сепарации (1,5-3 часа.). Температура испарителя и ионизатора измерялась микропирометром сравнения через кварцевое окно в стенке кожуха ионного источника.

таблица 2

Количество атомов в образце, шт.	Ионный ток, на	Температура ионизатора, $^{\circ}\text{C}$	Время разделения, мин	Эффективность ионизации, %
10^{17}	700	2600	300	79
10^{17}	1050	2670	90	60
10^{17}	800	2800	280	86
10^{18}	4000	2600	200	30

Во время проведения исследований были отмечены два негативных фактора: наличие в образцах естественного Ca, что приводит к снижению эффективности ионизации, а также присутствие ионного тока изотопов вольфрама из материала катода 1, который создает дополнительный фон при измерениях. Для устранения первого фактора необходима более тщательная химическая обработка образца, а для второго - очень точная юстировка ампулы ионного источника.

5. Выводы

Созданный ионный источник поверхностью-ионизационного типа с электронной бомбардировкой позволяет получать высокую температуру ($\approx 3000^{\circ}\text{C}$) на ионизаторе и относительно низкую температуру испарителя. Эффективность ионизации Sr составляет $>60\%$ при загрузке исследуемого образца до 10^{17} атомов ($\approx 10\text{ мкг}$). Конструкция источника позволяет проводить быструю замену образца с хорошей воспроизводимостью геометрии. При использовании этого ионного источника на установке RISIKO снижен предел обнаружения ${}^{90}\text{Sr}$ (с 10^8 до 10^7) атомов в образце (7,6 мБк).

Литература

1. L.Monz et al.-Spectrochimicf Acta, v.48B, p. 1655, 1993.
2. G.Beyer et al.- Nucl. Instr. and Meth., 148, p. 543, 1978.
3. G.Beyer et al.-Nucl. Instr. and Meth., 96, p. 437, 1971.
4. V.P.Afanasjev et al.-Nucl.Instr. and Meth., 145, p.533, 1977.
5. V.G.Kalinnikov et al.-Nucl. Instr. and Meth., B70, p.62, 1992.

Рукопись поступила в издательский отдел
3 июня 1994 года.